

II-46 護岸に作用する波力に関する実験

東京大学工学部 正員 工博 本間 仁

" " " 堀川清司

" " " ○長谷直樹

要旨 水深の浅い海岸護岸とか、波あたりの小さき海岸堤防に作用する波力については、さきにB. E. B.¹⁾によつて算式が提示されており、また海岸堤防および護岸におよぼす波压に関する研究として^{2), 3), 4)} 3つの研究がみられた。しかし碎波したあとの諸種の条件における波の作用については、現地の複雑な地形にもより、構造物の設計に際して、未解説な問題が残つてゐる。この報告は碎波したあとの波力について、構造物の堤脚水深と法面の勾配を数種類に変化させてその性質を実験により調べたものであり、とくに鉛直方向の圧力の分布状況について詳細に検討を加えた。

実験の條件 実験に使用した水路は長さ17m、高さ0.6m、巾0.7mの2次元水路で、一端に波起し機を他端には1/15勾配の斜面を設けた。実験は始めに、碎波後の波高変化を一様水深部の水深 $d = 35\text{cm}$ として、1/15斜面上の水深 $d' = 0, 2, 4, 6, 8\text{cm}$ の位置の波高を同時に測定した。実験波は周期 $T = (0.8), (1.0), (1.2), (1.4), (1.6), (1.8), 20, 22\text{sec}$ 、波高は $H_0 = 8.5$ から 9.5cm の値のものである。

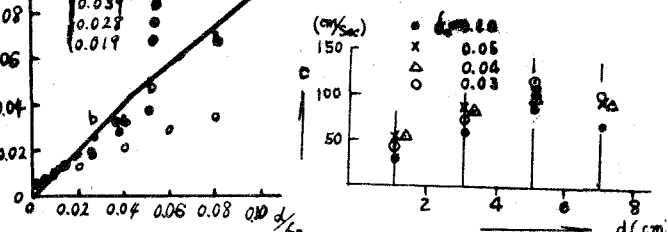
波の圧力実験は所定の位置に勾配1:0, 1:0.3, 1:0.55, 1:1, 1:2の模型護岸を設け、堤脚水深が $d' = 0, 2, 4, 6, 8\text{cm}$ になるように d を31cmから39cmに変化させた。使用した波は上の()内の周期のもので、 H_0/L_0 は0.097, 0.053, 0.039, 0.028, 0.019である。波压計は半導体式(M.P.C.型)変換器5台および磁歪式波压計1台で、模型護岸の前面0cmから14cmの高さに取り付け電磁オシログラフにより記録するとともに、一様水深部の波高 H を測定した。法面傾斜1:0, 1:0.55のものについては、さらに法面およびその前面5cmと、堤脚部沖側10cmに波高計を設けて波压計と同時に作動させようとした。

碎波後の波高の変化 波が浅い所に進行すると次第に波高を増し、沖波の10~15倍の波高で碎波する。その後は水深の減少に伴つて急速に波高を減ずる。図はその状況を冲波波長との比にとって示したもの。

この場合波高、波速とも H_0/L_0 の小さな波が幾分大きい値を示している。

碎波後の波压

堤脚水深の変化に伴なう波压の変化を、直立壁の場合について見



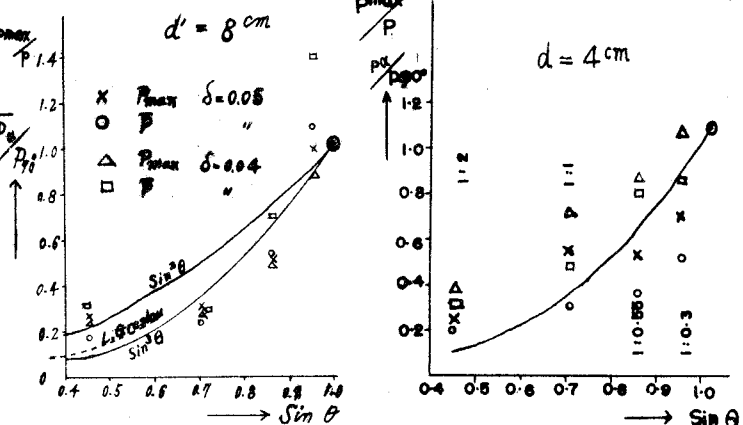
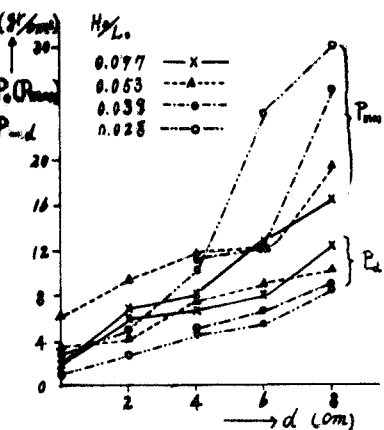
ると図のようになる。 $d' = 8$, 6 cmにおいては碎波による衝撃的な圧力波形を呈し、 H_0/L_0 の小さい波の圧力ではそれによる値の変動も大きくなっている。全般に水深に比例して圧力を減少しており、 H_0/L_0 によって階差があるのが認められる。これは $1/15$ 斜面上での碎波後の波高、波速の変化と同じ傾向のもので、それぞれの値を堤脚部ならびに静水面(最大波压を與える處)の波压 P_d , P_{max} に見合う模様である。

法面が傾斜したときの波压

作用する波压は壁体の傾斜によって力学的に当然変化することが考えられるが、さらに反射波の過程が勾配によつて異りその影響をうけて波の性質が変ることにより圧力を変化するものと見られる。勾配 $1:0$, $1:0.3$ の直立壁では衝突する現象に本質的な違いではなく、水深の大きいときの衝撃压は $1:0.3$ のときも生じていて $H_0/L_0 = 0.039$ の波は $1:0$ より強い波压を與える。勾配が $1:0.5$ になると衝撃压が減少して勾配による効果があらわれてくる。さらに勾配が緩かな傾斜堤では、次第に波の勢力が岸側に移り衝撃压が消えて斜面の広い範囲に作用することになり圧力強度は減

少する。静水面附近の最大圧力 P_{max} および全断面に作用する平均の圧力(便宜上実測波压の算術平均をとる)と壁体の勾配との関係は図のようになる。図は勾配の変数として $\sin \theta$ (θ :水面より法面までの 90° より引いた角)を用い、直壁 $1:0$ の圧力に対する比によつて表わした。図中の実線および $\sin^3 \theta$ の実線は L. GRESLOU⁵⁾ によって実験的に検討されたものである。今回の実験によると圧力の減少率はほぼ $\sin^3 \theta$ から $\sin^2 \theta$ の間に分布するものと思われる。しかし実験値は、堤脚水深および H_0/L_0 により可成りの変動が見られており、これの解析は実験精度およびデーター不足のため不充分であるので、さらに今後の研究に待つこととする。

一連の波の圧力のばらつきは、勾配が減じて衝撃压が消えることによつて非常に少くなり、堤脚水深が浅くなるとさらに一様化される。また、 $1:1$, $1:2$ 勾配の $d = 6$, 8 cm の堤脚部に、引波による急激な減圧波形が発生するのか見られ、それが衝撃的波形を呈して堤脚水深に相当する値になることがある。これは、同部分が軽い構造のものでは、堤全体の弱点となるものとして指摘される。



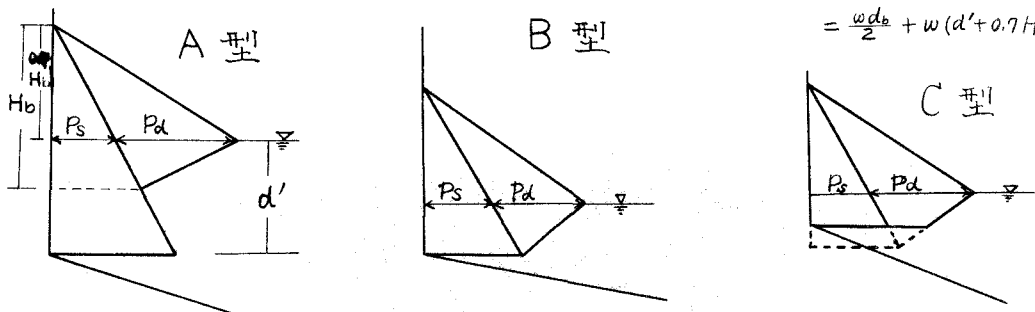
波圧の分布

波圧の作用する限界高さについては、B.E.B.の式は一律に静水面上 $0.7H_b$ をとるものであるが、筆者等の実験では堤脚水深によつて壁前の波高および受感した波圧計の限界高さが違がつてゐる。直立壁に対する衝突高さは対称地盤における進行波の $1.05H$ から $1.25H$ になることが知られており、これは海底の勾配によつても異つて来るものであるが、 $1/15$ 勾配のこの実験では静水面上に堤脚水深の 1.3 倍をとることにした。堤体前面の波圧の分布は、前述のように波の性質、堤脚水深、壁面の傾斜度によつて多様に変化することが解つた。

次に直立壁の圧力分布について B.E.B. の公式に準じて分類して見ると図のようになる。同式では波圧を静圧 P_s と動圧 P_d とに分けて

$$P = P_d + P_s$$

$$= \frac{\omega d_b}{2} + \omega(d' + 0.7H_b)$$



で與えられるものであり、 H_b と d' の相対関係から上図の A, B, C 型の 3 種類に分類した。こゝには P_d 最大の位置を静水面に一致させてあるが、図に見ると実験値は d' , H_b/L_0 によつてその附近に可成り変動するもようである。また P_d の最大点から上の圧力分布は、元公式は一様に加えてあるが、圧力の作用上限まで直線的に減少させるのが適當と思はれる。傾斜堤の分布は越上高さの上限から堤脚部の最大静圧 $P_s = d' + \delta = d' + 0.7H_b d_b$ を一様に結ぶ静水圧の分布が基本となり、その上に諸種の條件に応じた P_d が作用する形を示している。しかし測定値の微小による精度の不備もあるので、詳細な検討は今後の研究にまつことにした。

以上、碎波後の構造物における波圧について、検討した結果の 2, 3 を記した。本実験は新潟県土木部から依頼を受けて実施していふ一連のものであり、東京大学大学院修士 高岡征二郎君の協力によつて実施した。

参考文献

- 1) B. E. B.: Shore Protection Planning and Design, Technical Report No. 4. 1961
- 2) 永井莊七郎: 防波堤に働く碎波の圧力に関する研究 論文集 65号別冊
- 3) 加藤重一: 干拓堤防断面決定に関する研究. 農林省. 1958.
- 4) 本間・堀川: 護岸に働く波力について. 第 9 回海岸工学講演会集.
- 5) 光易: 壁体に作用する碎波の圧力に関する研究. 運研報告 8 卷 2 号
- 6) Greslou, L. etc.: Pressure Measurements on an Embankment. Bulletin of PIAN, Vol. 1 No. 5

